

9. Mitchell A. C., Nellis W. J., Heinle R. A. et al. Shock-impedance match experiments at pressure to 2,5 TPa (25 Mbar) // *Physica*.— 1980.— 139, 140B.— P. 591—594.
10. Sawaoka A. B., Akashi T. High Density Compacts. US Patent N 4655830.— 1987.
11. Yu L. H., Meyers M. A., Thadhani N. N. Reaction-assisted shock consolidation of RSR Ti—Al alloys // *J. Mater. Res.*— 1990.— 5, N 2.— P. 302—312.
12. Chokshi A. H., Meyers M. A. The prospects for superelasticity at high strain rates: preliminary considerations and an example // *Scripta Metallurgica et Materialia*.— 1990.— 24, N 4.— 1990.— P. 605—610.
13. Забабахин Е. И., Забабахин И. Е. Явления неограниченной кумуляции.— М.: Наука, 1988.
14. Бахрах С. М., Ковалев Н. П., Надыкто Б. А. и др. Исследование пластических и прочностных свойств меди в условиях всестороннего растяжения // *Докл. АН СССР*.— 1974.— 215, № 5.— С. 1090—1093.
15. Козлов Е. А. Экспериментальная проверка гипотезы Е. И. Забабахина об ограниченности кумуляции энергии на фронте сферически сходящейся ударной волны в среде с фазовыми переходами // *Докл. на Забабахинских Научных Чтениях. ВНИИТФ, Челябинск, 1990. Report on Int. Conf. «Shock Waves and High-Strain-Rate Phenomena»*, Aug. 12—16, 1990, San-Diego, CA, USA.
16. Козлов Е. А. Особенности ударной сжимаемости, макрокинетика фазовых превращений и откольное разрушение железа в различных фазовых состояниях // *Материалы Междунар. конф. «Новые методы в физике и механике деформируемого твердого тела»*.— Череп., 1990.— 2.
17. Kozlov E. A., Teplinskaya V. M., Orlov V. K. et al. Phase transitions and spall fractures of zirconium under explosive loading // *J. de Physique IV, Coll. C3, suppl. au J. de Physique III*.— 1991.— 1.— P. C3—675—680.
18. Kovalenko G. V., Kozlov E. A., Kuropatenko V. F. et al. Computational-experimental investigation of wave processes in metal balls under their loading by spherically converging shock waves // *Bull. Am. Phys. Soc.*— 1991.— 36, N 6.— P. 1831.
19. Kozlov E. A., Litvinov B. V., Kabin I. G. et al. Obtaining and investigation of submicrocrystal structure materials in experiments on loading of metal spheres by spherical converging shock waves // *Ibid*.
20. Литвинов Б. В., Козлов Е. А., Жугин Ю. И. и др. О новых экспериментальных возможностях изучения полиморфных и фазовых превращений, твердофазных химических реакций в минералах и горных породах // *Сборник докл. V Всесоюз. совещ. по детонации, Красноярск, 5—12 авг., 1991.*— 1.— С. 197—198.
21. Литвинов Б. В., Козлов Е. А., Жугин Ю. И. и др. Фазовые превращения в минералах и горных породах // *Тез. докл. XII Всесоюз. совещ. по экспериментальной минералогии, Миасс, 24—26 сент., 1991.*— С. 82—83.

г. Челябинск

Поступила в редакцию 13/XII 1991

УДК 536.463

В. Н. Охитин

## РАСЧЕТ ПАРАМЕТРОВ СЛАБОЙ ОДНОМЕРНОЙ ДЕФЛАГРАЦИИ

Проведен анализ результатов численного решения одномерной задачи о слабой дефлаграции газовых смесей для всех видов симметрии. Предложено граничное условие, позволяющее исключить особенности в окрестности фронта ударной волны при численном интегрировании уравнений для малых скоростей фронта пламени. Получены аналитические соотношения для параметров возникающего течения, аппроксимирующие результаты численного решения с высокой точностью вплоть до значений видимой скорости пламени, в 1,5—2 раза превышающей скорость звука в исходной смеси.

В [1] проанализировано численное решение и получены аналитические соотношения для параметров одномерной дефлаграции газовых смесей при видимой скорости фронта пламени  $U > (0,2 \div 0,3)D$ , где  $D$  — скорость детонации в смеси. В принципе, численное решение задачи может быть получено для любой скорости дефлаграции, однако в сферическом и цилиндрическом случаях при очень малой скорости распространения пламени (менее  $0,3 c_1$  и  $0,10 c_1$  соответственно для сферической и цилиндрической симметрий,  $c_1$  — скорость звука в исходной смеси) возникают некоторые вычислительные трудности, связанные с дивергентным характером течения среды.

© В. Н. Охитин, 1993.

Задача об одномерной дефлаграции, распространяющейся в совершенном газе с постоянной скоростью, описывается системой дифференциальных уравнений в полных производных:

$$\frac{\lambda D_1 - u}{c} \frac{du}{d\lambda} = \frac{2}{\gamma - 1} \frac{dc}{d\lambda},$$

$$\left[ \left( \frac{\lambda D_1 - u}{c} \right)^2 - 1 \right] \frac{du}{d\lambda} = \frac{vu}{\lambda},$$
(1)

где  $\lambda = r/D_1 t$  — относительная координата в области течения;  $r$ ,  $t$  — текущие координаты и время;  $D_1$  — скорость фронта ударной волны (УВ);  $u$ ,  $c$  — массовая и звуковая скорости;  $\gamma$  — показатель адиабаты газа;  $v = 0, 1, 2$  — параметр симметрии соответственно для плоского, цилиндрического и сферического случаев.

Граничные условия:

— соотношения динамической совместности на фронте УВ

$$D_1 = v_1 \sqrt{(p_2 - p_1)/(v_1 - v_2)}, \quad u_2 = \sqrt{(p_2 - p_1)(v_1 - v_2)},$$

$$\frac{v_2}{v_1} = \left( p_2 + p_1 \frac{\gamma_1 + 1}{\gamma_1 - 1} \right) / \left( p_2 \frac{\gamma_2 + 1}{\gamma_2 - 1} + p_1 \right);$$
(2)

— интегральные законы сохранения массы, количества движения и энергии на фронте пламени, которые можно представить в виде

$$U = u_3 + v_3 \sqrt{(p_4 - p_3)/(v_3 - v_4)}, \quad u_4 = u_3 - \sqrt{(p_4 - p_3)(v_3 - v_4)},$$

$$\frac{v_4}{v_3} = \left( p_4 + p_3 \frac{\gamma_3 + 1}{\gamma_3 - 1} + 2 \frac{Q_1}{v_3} \right) / \left( p_4 \frac{\gamma_4 + 1}{\gamma_4 - 1} + p_3 \right);$$
(3)

— равенство нулю массовой скорости среды в центре симметрии. Здесь индексы 1—4 относятся к параметрам среды перед и за фронтами УВ и пламени соответственно;  $p$ ,  $v$  — давление и удельный объем среды;  $Q_1$  — удельная теплота сгорания смеси.

Так как в области УВ и в продуктах сгорания (ПС) течение газа изоэнтропическое ( $\gamma_3 = \gamma_2$ ), то давление и удельный объем в УВ и ПС связаны со скоростью звука соотношениями

$$p = p_2 (c/c_2)^{2\gamma_2/(\gamma_2-1)}, \quad v = v_2 (c_2/c)^{2/(\gamma_2-1)},$$

$$p = p_4 (c/c_4)^{2\gamma_4/(\gamma_4-1)}, \quad v = v_4 (c_4/c)^{2/(\gamma_4-1)}.$$
(4)

Условия (3) при известных параметрах перед фронтом пламени  $p_3$ ,  $v_3$ ,  $u_3$  и скорости его распространения  $U$  позволяют рассчитать параметры за фронтом  $p_4$ ,  $v_4$ ,  $u_4$ . Однако, так как при слабой дефлаграции  $u_4 = 0$  (это условие начинает выполняться для  $U \approx 0,5D$  [1]), то (3) служат для определения скорости пламени  $U$ , генерирующего перед своим фронтом течение, удовлетворяющее системе уравнений (1).

Таким образом, численное решение задачи сводится к интегрированию системы (1) от фронта УВ ( $\lambda = 1$ ) при заданной его интенсивности ( $u_2$  и  $c_2$ , удовлетворяющие условиям (2)) вплоть до точки, в которой выполняются условия (3) совместно с тождеством  $u_4 = 0$  и определению скорости фронта пламени и параметров за ним, соответствующих УВ выбранной интенсивности.

В сферическом и цилиндрическом случаях за счет дивергентности течения скорость потока перед фронтом пламени падает и при малой скорости дефлаграции на фронте УВ стремится к нулю. При этом производные  $du/d\lambda$  и  $dc/d\lambda$  в системе (1) на границе расчетной области  $\lambda = 1$  становятся неопределенными. Используя акустическое приближение для параметров фронта УВ [2]

$$c_2 \approx c_1 + \frac{\gamma_1 - 1}{2} u_2, \quad D_1 \approx c_1 + \frac{\gamma_1 + 1}{4} u_2,$$

из системы (1) для первой и второй производных можно получить

$$\begin{aligned}\frac{du}{d\lambda}\Big|_{\lambda=1} &= -\frac{2v}{\gamma_1+1}c_1, & \frac{dc}{d\lambda}\Big|_{\lambda=1} &= -v\frac{\gamma_1-1}{\gamma_1+1}c_1\left(1-\frac{\gamma_1+1}{4}\frac{u_2}{c_1}\right), \\ \frac{d^2u}{d\lambda^2}\Big|_{\lambda=1} &= -\frac{4v(v+2)}{(\gamma_1+1)^2}\frac{c_1}{u_2}\left[c_1-\frac{(5v+3)(\gamma_1+1)-4(2v+1)}{2(v+2)}u_2\right], & (5) \\ \frac{d^2c}{d\lambda^2}\Big|_{\lambda=1} &= -2v(v+2)\frac{\gamma_1-1}{(\gamma_1+1)^2}\frac{c_1}{u_2}\left[c_1-\frac{(9v+6)(\gamma_1+1)-8(2v+1)}{2(v+2)}u_2\right].\end{aligned}$$

Из (5) видно, что при  $u_2 \rightarrow 0$   $du/d\lambda = \text{const}$ ,  $dc/d\lambda \rightarrow \text{const}$ , а вторые производные стремятся к бесконечности, поэтому использование для интегрирования системы (1) разностных схем первого порядка аппроксимации при малых скоростях фронта пламени становится невозможным, а схем более высокого порядка точности требует нереально малого шага численного интегрирования.

Первое уравнение системы (1) можно переписать в виде

$$\frac{1}{\gamma_2-1}dc^2 = \lambda D_1 du - u du = d(\lambda D_1 u) - \frac{1}{2}du^2 - D_1 u d\lambda,$$

откуда, интегрируя от фронта УВ ( $\lambda = 1$ ) до текущей координаты  $\lambda$ , получим

$$\frac{c^2 - c_2^2}{\gamma_2 - 1} = D_1(\lambda u - u_2) - \frac{u^2 - u_2^2}{2} - D_1 \varphi(\lambda), \quad (6)$$

где  $\varphi(\lambda) = \int_1^\lambda u d\lambda$  — потенциал течения.

При малой скорости дефлаграции  $c_2 \rightarrow D_1 \rightarrow c_1$ ,  $u_2 \rightarrow 0$ ,  $\gamma_2 = \gamma_1$ , и интеграл (6) упрощается

$$\frac{c^2 - c_1^2}{\gamma_1 - 1} = c_1 \lambda u - \frac{u^2}{2} - c_1 \varphi(\lambda), \quad (7)$$

а второе уравнение системы (1) в окрестности фронта УВ, где  $\lambda \gg u/c_1$ , принимает вид

$$\frac{du}{d\lambda} \simeq \frac{vu}{\lambda} \frac{1}{\lambda^2 - 1},$$

интегралом которого является выражение

$$u = a \left( \frac{1 - \lambda^2}{\lambda^2} \right)^{v/2}, \quad (8)$$

$a$  — константа интегрирования.

Используя (8), можно вычислить потенциал течения в сферическом и цилиндрическом случаях:

$$\varphi(\lambda) = -a \frac{(1 - \lambda)^2}{\lambda} = -u\lambda \frac{1 - \lambda}{1 + \lambda} \quad \text{при } v = 2,$$

$$\varphi(\lambda) = a \left( \sqrt{1 - \lambda^2} - \ln \frac{1 + \sqrt{1 - \lambda^2}}{\lambda} \right) = u\lambda \left( 1 - \frac{1}{\sqrt{1 - \lambda^2}} \ln \frac{1 + \sqrt{1 - \lambda^2}}{\lambda} \right)$$

при  $v = 1$ .

Подставив эти выражения в (7), получим связь между звуковой и массовой скоростями потока в окрестности фронта УВ

$$c = c_1 \sqrt{1 + (\gamma_1 - 1) \left[ \frac{u}{c_1} \frac{2\lambda}{1 + \lambda} - \frac{1}{2} \left( \frac{u}{c_1} \right)^2 \right]} \quad \text{при } v = 2, \quad (9)$$

$$c = c_1 \sqrt{1 + (\gamma_1 - 1) \left[ \frac{u}{c_1} \frac{1}{\sqrt{1 - \lambda^2}} \ln \frac{1 + \sqrt{1 - \lambda^2}}{\lambda} - \frac{1}{2} \left( \frac{u}{c_1} \right)^2 \right]} \quad \text{при } v = 1.$$

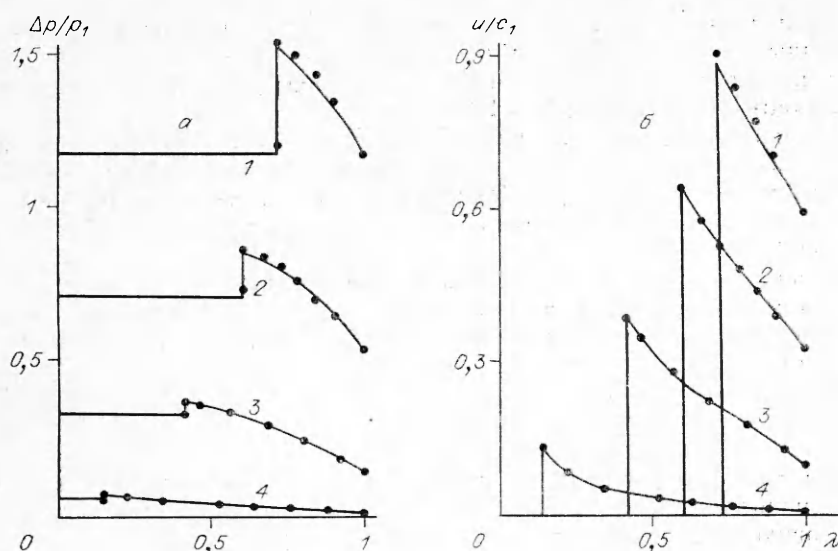


Рис. 1. Распределение избыточного давления (а) и массовой скорости (б) при цилиндрической дефлаграции стехиометрической ацетиленовоздушной смеси.  $U$ , м/с: 1 — 350, 2 — 250, 3 — 150, 4 — 50. Точки — результаты приближенного решения.

Соотношения (9) могут быть использованы вместо граничных условий (2) при интегрировании системы (1) в случае малой скорости распространения пламени, начиная не от фронта УВ ( $\lambda = 1$ ), а от любой произвольной точки с координатой  $\lambda \gg u/c_1$ . Проведенные численные расчеты показывают, что подобным образом можно избежать указанных выше трудностей без снижения точности получаемых результатов.

На рис. 1 в качестве примера представлены результаты численного решения цилиндрической задачи ( $\nu = 1$ ) в виде распределений за фронтом УВ безразмерных избыточного давления и массовой скорости газа в стехиометрической смеси ацетилен — воздух с параметрами:  $p_1 = 1,013 \cdot 10^5$  Па;  $v_1 = 0,8218$  м<sup>3</sup>/кг;  $c_1 = 341,4$  м/с;  $Q_1 = 3,269$  МДж/кг;  $\gamma_1 = \gamma_2 = \gamma_3 = 1,4$ ;  $\gamma_4 = 1,234$ . Видно, что при  $U = 50$  м/с интенсивность УВ практически падает до нуля. В сферическом случае распределение параметров качественно подобно (интенсивность фронта УВ стремится к нулю при  $U < 150$  м/с), а при плоской симметрии параметры за фронтом УВ постоянны.

Численное решение задачи, кроме необходимости привлечения ЭВМ, обладает тем недостатком, что не дает возможности определить параметры возникающего течения непосредственно по заданной скорости  $U$ . Поэтому особое практическое значение приобретают различные аналитические соотношения. Наиболее полное приближенное решение для распределения параметров при сферической дефлаграции приведено в работе [3]. Оно основано на анализе результатов численного решения задачи о расширении в газе сферического поршня [4] и базируется на допущениях о постоянстве разности массовых скоростей на фронте пламени и фронте УВ, величина которой принята равной  $0,525 c_1$ , а также о возможности описания распределения скорости в области течения акустическим приближением (8) (при  $\nu = 2$ ).

Проведенные численные расчеты показывают, что принятые в [3] допущения достаточно грубые. Так, для рассматриваемой смеси в сферическом случае указанная разность скоростей возрастает от  $0,34 c_1$  при  $U = 0,4 c_1$  (скорость пламени, соответствующая началу возрастания интенсивности фронта УВ) до  $0,47 c_1$  при  $U = 0,7 c_1$ , а затем монотонно убывает, и при  $U = 2 c_1$  составляет  $0,25 c_1$ , при этом с увеличением скорости дефлаграции ( $U > 0,2 c_1$ ) соотношение (8) начинает отклоняться от действительного распределения массовой скорости в окрестности фронта УВ,

а затем и в окрестности фронта пламени. Все это приводит к тому, что полученные в [3] соотношения в рекомендуемом диапазоне могут приводить к ошибкам в распределении избыточного давления по отношению к численному решению до 30—50 %.

Анализ численных результатов показывает, что, несмотря на существенное изменение плотности в продуктах сгорания (при возрастании скорости пламени от 50 до 350 м/с она увеличивается в плоском, цилиндрическом и сферическом случаях соответственно в 2,17, 2,04 и 1,94 раза), скачок плотности газа на фронте дефлаграции меняется относительно слабо (на 16, 12 и 9 % соответственно) и в первом приближении может быть принят постоянным и равным степени расширения газа при сгорании, определяемой из третьего соотношения (3) при  $p_4 = p_3 = p_1$ :

$$\sigma = \frac{v_4}{v_3} = \left( \frac{2\gamma_3}{\gamma_3 - 1} + \frac{Q_1}{p_1 v_1} \right) / \frac{2\gamma_4}{\gamma_4 - 1} = \text{const.}$$

Это дает возможность из первых двух соотношений (3) с учетом  $u_4 = 0$  непосредственно связать между собой скорость фронта пламени и массовую скорость газа за ним (аналогично [3])

$$u_3 = U(1 - 1/\sigma). \quad (10)$$

Соотношение (10) в указанном диапазоне скоростей выполняется для различных видов симметрии с точностью 1,5—3 %.

Интегральный закон сохранения массы для всей области, захваченной УВ, можно записать в виде

$$\rho_1 = \rho_4 \lambda_3^{v+1} + \bar{\rho} (1 - \lambda_3^{v+1}),$$

где  $\lambda_3$  — относительная координата фронта пламени;  $\bar{\rho}$  — некоторая средняя плотность газа в области между фронтами УВ и пламени. При малой скорости дефлаграции ( $\lambda_3 \rightarrow 0$ ) и линейном распределении плотности  $\bar{\rho} = [\rho_3 + (v+1)\rho_2]/(v+2)$ , тогда закон сохранения массы принимает вид

$$\rho_1 = \rho_4 \lambda_3^{v+1} + \frac{\rho_3 + (v+1)\rho_2}{v+2} (1 - \lambda_3^{v+1})$$

или, разделив на  $\rho_2$ , получим

$$(v+1) \frac{\rho_1}{\rho_2} = \frac{b}{\sigma} \lambda_3^{v+1} + [b + (v+1)] (1 - \lambda_3^{v+1}), \quad (11)$$

$$b = \rho_3/\rho_2.$$

Из системы одномерных уравнений газодинамики следует, что параметры на фронте УВ могут возрастать лишь при определенном значении градиентов за ним. Так как коэффициент  $b$  характеризует градиент плотности за фронтом УВ, то можно ожидать, что при дефлаграции возрастание интенсивности УВ начинается при достижении им некоторой величины. Действительно, численные расчеты показывают, что с увеличением скорости дефлаграции коэффициент  $b$  (11) возрастает до некоторого значения, при котором начинается заметный рост интенсивности УВ, а затем остается практически постоянным. С учетом изоэнтропической связи между плотностью и скоростью звука из (5) при условии  $u_2 \rightarrow 0$  для градиента плотности нетрудно получить

$$\frac{1}{\rho} \frac{d\rho}{d\lambda} \Big|_{\lambda=1} = - \frac{2v}{\gamma_1 + 1}.$$

Так как за фронтом УВ  $\frac{1}{\rho} \frac{d\rho}{d\lambda} \Big|_{\lambda=1} \approx \frac{\rho_2 - \rho_3}{\rho_2} = 1 - b$ , то  $1 - b \approx -2v/(\gamma_1 + 1)$ . По данным численных расчетов коэффициент пропорциональности может быть принят равным 1/4, поэтому окончательно получим

$$b = 1 + \frac{1}{2} \frac{v}{\gamma_1 + 1}. \quad (12)$$

С учетом (12) уравнение (11) дает возможность рассчитать скорость дефлации  $U_*$ , при которой начинается заметное возрастание интенсивности УВ, и параметров на ее фронте. В момент начала возрастания интенсивности УВ  $\rho_2 = \rho_1$  и  $\lambda_3 = U_*/c_1$  поэтому из (11) имеем

$$\frac{U_*}{c_1} = \sqrt{\frac{v+1}{(v+1) + b[1-(v+2)/\sigma]} \cdot \frac{b-1}{1}} \quad (13)$$

Значения  $b$  и  $U_*$  для рассматриваемой смеси, вычисленные по (12), (13), в случаях плоской, цилиндрической и сферической симметрии соответственно равны 1, 1,2083, 1,4167 и 0, 0,2747  $c_1$ , 0,4821  $c_1$ .

Поскольку (см. [2])

$$\frac{\rho_1}{\rho_2} = \frac{\gamma_1 - 1}{\gamma_1 + 1} + \frac{2}{\gamma_1 + 1} \left( \frac{c_1}{D_1} \right)^2,$$

то, используя (11), нетрудно получить уравнение для определения скорости распространения фронта УВ

$$\left( \frac{2}{\gamma_1 + 1} + \frac{b-1}{v+2} \right) \left( \frac{D_1}{c_1} \right)^{v+1} - \frac{2}{\gamma_1 + 1} \left( \frac{D_1}{c_1} \right)^{v-1} - \frac{(v+1) + b[1-(v+2)/\sigma]}{v+2} \left( \frac{U}{c_1} \right)^{v+1} = 0,$$

которое в плоском и цилиндрическом случаях дает аналитические соотношения:

$$\frac{D_1}{c_1} = \frac{\gamma_1 + 1}{4} (1 - 1/\sigma) \frac{U}{c_1} + \sqrt{\left[ \frac{\gamma_1 + 1}{4} (1 - 1/\sigma) \right]^2 \left( \frac{U}{c_1} \right)^2 + 1} \quad \text{при } v = 0, \quad (14)$$

$$\frac{D_1}{c_1} = \sqrt{\left[ \frac{2 + b(1-3/\sigma)}{3} \left( \frac{U}{c_1} \right)^2 + \frac{2}{\gamma_1 + 1} \right] / \left( \frac{2}{\gamma_1 + 1} + \frac{b-1}{3} \right)} \quad \text{при } v = 1, \quad (15)$$

а в сферическом может быть представлено в виде рекуррентного соотношения

$$\frac{D_1}{c_1} = \sqrt[3]{\left[ \frac{3 + b(1-4/\sigma)}{4} \left( \frac{U}{c_1} \right)^3 + \frac{2}{\gamma_1 + 1} \frac{D_1}{c_1} \right] / \left( \frac{2}{\gamma_1 + 1} + \frac{b-1}{4} \right)}, \quad (16)$$

позволяющего получить результат с достаточной для практики точностью за 3–5 итераций.

На рис. 2 линиями представлены результаты расчетов для рассматриваемой смеси по зависимостям (14)–(16), точки — данные численного решения. Видно, что в области ненулевой интенсивности фронта УВ аналитические соотношения (14)–(16) обеспечивают высокую точность вычислений.

Для описания параметров за фронтом УВ воспользуемся более общим, чем (8), распределением скорости, записав его в виде:

$$u = u_2 + a \frac{1 - \lambda^\beta}{\lambda^\alpha},$$

где  $a = (u_3 - u_2) \lambda_3^\alpha / (1 - \lambda_3^\beta)$  — константа, определяемая по массовой скорости перед фронтом пламени (при  $\lambda = \lambda_3$ ); множитель  $(1 - \lambda^\beta)$  описывает «завал» скорости в окрестности фронта УВ (см. рис. 1, б); а показатель  $\alpha$  обеспечивает совпадение градиента скорости на фронте де-

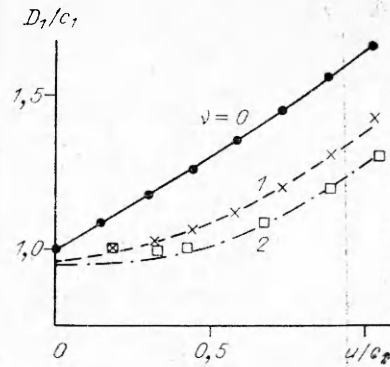


Рис. 2. Зависимость скорости УВ от скорости дефлации.

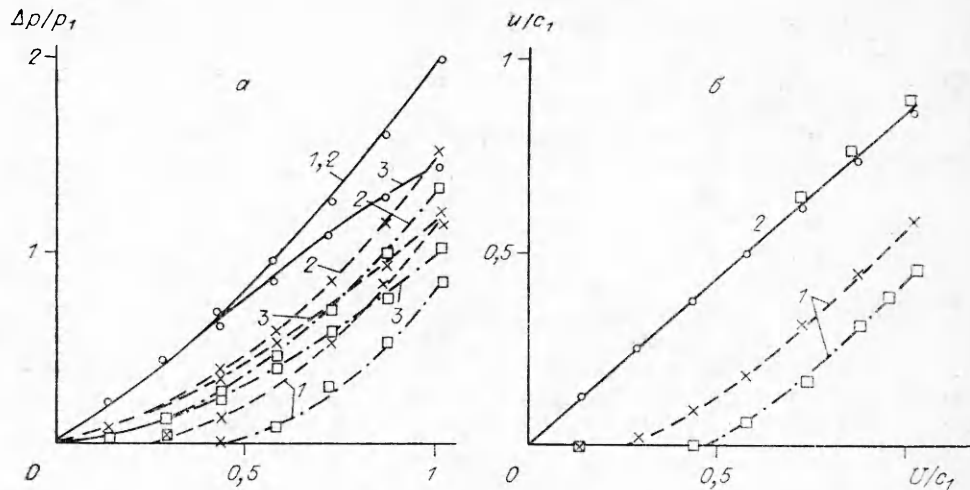


Рис. 3. Зависимости избыточного давления (а) и массовой скорости (б) от скорости дефлаграции на фронте УВ (1), перед (2) и за (3) фронтом пламени.  
 — — —  $\nu = 0$ ; - - -  $\nu = 1$ ; - · - ·  $\nu = 2$ . Точки — численные результаты.

флаграции с точным значением (1)

$$\frac{du}{d\lambda} \Big|_{\lambda=\lambda_3} = -\frac{u_3 - u_2}{1 - \lambda_3^\beta} \frac{1}{\lambda_3} [\alpha(1 - \lambda_3^\beta) + \beta\lambda_3^\beta] = \frac{\nu u_3}{\lambda_3} \frac{1}{[(U - u_3)/c_3]^2 - 1}.$$

По данным численных расчетов можно принять  $\beta = 3\nu$ . Тогда с учетом (10) и принимая во внимание, что скорость звука за фронтом УВ меняется незначительно (в пределах 3%), окончательно для распределения массовой скорости получим

$$u = u_2 + (u_3 - u_2) \frac{1 - \lambda^{3\nu} (\frac{\lambda_3}{\lambda})^\alpha}{1 - \lambda_3^{3\nu} (\frac{\lambda_3}{\lambda})^\alpha}, \quad (17)$$

$$\alpha = \nu \left[ \frac{u_3}{u_3 - u_2} \frac{1}{1 - (U/c_2)^2} - \frac{3}{(D_1/U)^{3\nu} - 1} \right].$$

Используя (17), нетрудно вычислить потенциал скорости  $\phi(\lambda)$ , и тогда интеграл (6) приводится к виду

$$c = c_2 \left\{ 1 + (\gamma_2 - 1) D_1 \frac{u - u_2}{c_2^2} \left[ \frac{1}{1 - \lambda^{3\nu}} \left( \frac{\alpha}{\alpha - 1} \lambda - \frac{3\nu}{(\alpha - 1)(3\nu + 1 - \alpha)} \lambda^\alpha - \frac{3\nu - \alpha}{3\nu + 1 - \alpha} \lambda^{3\nu+1} \right) - \frac{u + u_2}{2D_1} \right] \right\}^{1/2}. \quad (18)$$

Соотношение (18) с учетом (4) позволяет построить распределения давления и удельного объема (или плотности) в области течения между фронтами УВ и пламени. В частности, для давления перед фронтом дефлаграции (при  $\lambda = \lambda_3 = U/D_1$ ) получим

$$p_3 = p_2 \left\{ 1 + (\gamma_2 - 1) D_1 \frac{u_3 - u_2}{c_2^2} \left[ \frac{1}{1 - (U/D_1)^{3\nu}} \left( \frac{\alpha}{\alpha - 1} \frac{U}{D_1} - \frac{3\nu}{(\alpha - 1)(3\nu + 1 - \alpha)} \left( \frac{U}{D_1} \right) - \frac{3\nu - \alpha}{3\nu + 1 - \alpha} \left( \frac{U}{D_1} \right)^{3\nu+1} \right) - \frac{u_3 + u_2}{2D_1} \right] \right\}^{\frac{\gamma_1}{\gamma_1 - 1}}. \quad (19)$$

Параметры за фронтом пламени определяются из граничных условий (3), которые с учетом (10) для давления дают

$$p_4 = p_3 - \rho_3 U^2 \frac{\sigma - 1}{\sigma^2}. \quad (20)$$

При скорости дефлаграции  $U < U_*$ ,  $D_1 = c_2 = c_1$ ,  $u_2 = 0$  и с высокой точностью можно положить  $\alpha = v$ , поэтому соотношения (17) — (19) заметно упрощаются.

На рис. 3 для рассматриваемой смеси нанесены зависимости от скорости дефлаграции избыточного давления и массовой скорости на фронте УВ, фронте пламени и в продуктах сгорания, построенные с использованием соотношений (10), (14) — (16), (19), (20). На рис. 1 точками нанесены распределения избыточного давления (а) и массовой скорости (б) за фронтом УВ, рассчитанные по зависимостям (17), (18) для цилиндрической симметрии. Сравнение с результатами численного решения показывает, что полученные соотношения обеспечивают точность расчетов одномерной дефлаграции газообразных смесей по наиболее чувствительному параметру — избыточному давлению в пределах 3—5% вплоть до скоростей фронта пламени  $U = (1,5 \div 2)c_1$ . С учетом полученных в работе [1] соотношений для скоростей  $U > (0,2 \div 0,3)D$  ( $U \approx (1,1 \div 1,6)c_1$ ) настоящее решение позволяет с высокой точностью рассчитать параметры одномерной дефлаграции по заданной видимой скорости фронта пламени во всем диапазоне, вплоть до нормальной детонации.

#### ЛИТЕРАТУРА

1. Охитин В. Н. Автомодельное распределение параметров при дефлаграции в режимах Чепмена — Жуге: Библиографический указатель ВИНТИ «Депонированные рукописи». — 1988. — № 12. — Деп. № 5870-В88.
2. Физика взрыва/Под ред. К. П. Станюковича. — М.: Наука, 1975.
3. Горев В. А., Мирошников С. Н., Трошин Я. К. Определение параметров сферической дефлаграции // ФГВ. — 1979. — 15, № 2. — С. 73—80.
4. Taylor G. F. The air wave surrounding an expanding sphere // Proc. Roy. Soc. — 1946. — A186. — P. 273—292.

г. Москва

Поступила в редакцию 3/XII 1991